

○名古屋大学 学生員 小瀬吉信博
 豊知工業大学 正員 青木徹彦
 名古屋大学 正員 福本晴士

1. はじめに

鋼構造物を構成する部材の断面形状のうち、開断面形としては箱形断面、パイプ断面が代表的なものである。断面を構成する板要素の局部座屈と全体座屈、初期不整と構造安定との関連については、箱形とパイプ断面ではかなり異なる性状を示している。両者の中間に位置する多角柱の安定問題を扱った研究は少ない。本研究は多角柱(4~10角形)の座屈安定についての検討を行なう。たゞのとく、板要素座屈、パイプ形(断面変形)座屈、オイラー(長柱)座屈の三種類のモードと多角形形状との関連性を調べ、塔状構造物としての多角柱の力学特性を明らかにし、設計のための基礎的資料を得ることを目的としている。

2. 解析法

多角柱を折板開断面柱と考へ、有限帯板要素法により固有値解析を行う。各帶板要素の両端を単純支持とし、Cheung の著書¹⁾などを参考として、要素幅方向に多項式、長さ方向に三角関数の変位関数を仮定し、次の特性方程式を得る。

$$([K] - \lambda [K_0])[\delta] = \{0\} \quad (1)$$

ここで $[K]$ は板曲げと平面応力とを重ね合わせた剛性マトリックス、 $[K_0]$ は幾何剛性マトリックスである。

2-1. 弹性座屈解析

弾性の場合の係数行列内に定数項のみを含み、変化するパラメーターがないので容易に固有値が計算できる。たとえば文献 2) などには $[K]$ 、 $[K_0]$ の内容が明示されている。固有値入の座屈応力 σ_c として求められる。

2-2. 非弾性座屈解析

塑性域では Bijlaard³⁾ の塑性変形理論を用いるものとする。ひずみの逆転を考慮した次の式が成立する。

$$\begin{Bmatrix} M_x \\ M_y \\ M_{xy} \end{Bmatrix} = \frac{Et^3}{12} \begin{Bmatrix} k_{11} & k_{12} & 0 \\ k_{21} & k_{22} & 0 \\ 0 & 0 & k_{33} \end{Bmatrix} \begin{Bmatrix} -\delta w/2x^2 \\ -\delta w/2y^2 \\ 2\delta w/xy^2 \end{Bmatrix}, \quad \begin{Bmatrix} \Delta \sigma_x \\ \Delta \sigma_y \\ \Delta \sigma_{xy} \end{Bmatrix} = E \begin{Bmatrix} k_{11} & k_{12} & 0 \\ k_{21} & k_{22} & 0 \\ 0 & 0 & k_{33} \end{Bmatrix} \begin{Bmatrix} \Delta E_x \\ \Delta E_y \\ \Delta E_{xy} \end{Bmatrix} \quad (2)$$

k_{ij} の内容は、たとえば文献 4), 5) などにも与えられている。この場合の固有値入は次式で表わされるよう無次元基準幅厚比 $(\lambda^*)^2$ によっている。

$$\lambda = (\lambda^*)^2 = \left(\frac{b^*}{t^*}\right)^2 \frac{12(1-\nu^2)}{\pi^2} \frac{\sigma_c}{E} \quad (3)$$

ここで、 b^* : 基準幅、 t^* : 基準板厚、 σ_c : 降伏点応力度。

本研究においては、文献 4) と同様、各要素には残留応力を含めた圧縮応力度の平均値が、均等に作用しているものとする。よって数値積分の必要がなく簡明となるが、分割数を多くとらねばならない。

3. 数値計算

弹性座屈解析では固有値がそのまま座屈応力として求まる。非弾性解析では式(3)のように、固有値は幅厚比の形で与えられる。よって外力ひずみを与えて、設定した材料の応力-ひずみ関係から割線剛度 E_s 、応力ひずみを求め、式(1)の $[K]$ 、 $[K_0]$ を作成する。固有値として得られた λ^* が、あらかじめ設定した b^* 、 t^* 、 σ_c 、 E から求めた λ^* に一致するまで外力ひずみを修正し、反復計算する。

4. 計算結果と考察

図2-5は弾性座屈解析の結果のみ示す。計算例は断面形として、4, 5, 6, 7, 8, 10角形について柱の長さおよび構成板厚を変えて行なった。荷重は柱の両端で一様圧縮とした。多角形の辺数の変化による挙動を調べるために、周長をすべて40 cm²とおいた。Fig. 1. に座屈モードを示す記号を定義する。Fig. 2. では $t = 0.50$ cm² とした。4角形から5, 6, ..., 10角形まで辺数を増やしていくと、8角形からさらに辺の幅厚比が10以下になるとパイアモード△θが現われてくる。特にパイアの2次モードθが生じると、Corはふり減り続ける。辺数の増加により、一边の板要素の幅厚比 b/t は当然小さくなり、板の局部座屈強度はその逆数の自乗で大きくなる。これで座屈係数K_cを表すとパイアモードによる強度低下が明確となる。このモードは多角形の折角部の節線が座屈により変位していく。Fig. 3. では Fig. 2. の板厚を半分として $t = 0.25$ とした。幅厚比はすべて10以上となっており、板の局部座屈のみが現れる。パイアモードは起らぬ。これで考えてみると、偶数辺の多角柱ではたゞ4の単純支持板と等しい。奇数辺では板の変形モードがうまく廻続しないため、5角形では $K_c = 4.27$ となり、パネルの局部座屈に対する形状的に必ず有利である。Fig. 4. は8角形で板厚 t を0.25~0.50まで変化させ、パイアモードの現れる様子を示す。8角形では幅厚比が13以下でθモードが生じる。Fig. 5. は8角形の辺中央と隅角部とに剛剛域(脚長3t~6t)を入らせるものである。わずかの補剛域を辺中央に入れるとパイアモードが現れず強度が低下する。ここでは多角柱の弾性座屈解析のみ示し、現われる座屈モードの性質を考察した。非弾性座屈解析結果については当発表の予定である。

- 参考文献. 1) Cheung, Finite Strip Method in Structural Analysis, Pergamon. 2) 吉田宏一郎. 板要素による平板の座屈解析. 日本造船学会論文集第130号, 1972年. 3) Bijlaard. Theory and Tests on the Plastic Stability of Plates and Shells. J. of Aero. Sci. Sep. 1949. 4) 小松, 年尾. 压縮補剛板の弾塑性座屈強度と合理的な設計法について. 土木学会論文報告集第278号, 1977年10月. 5) 吉田博. H型鋼柱の局部座屈と曲げ座屈の座屈強度. 土木学会論文報告集第243号, 1975年11月.

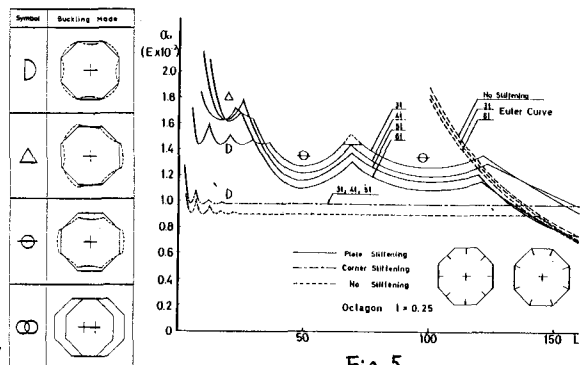


Fig. 5.

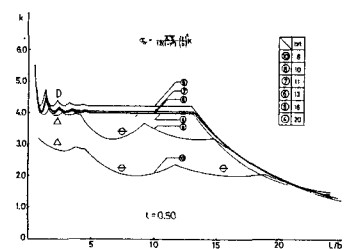
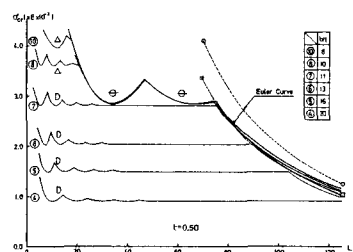


Fig. 2.

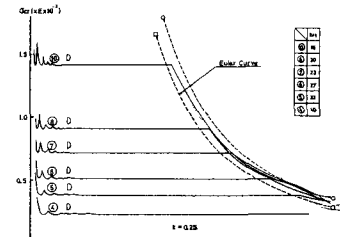


Fig. 3.

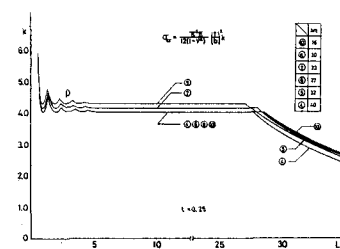


Fig. 4.